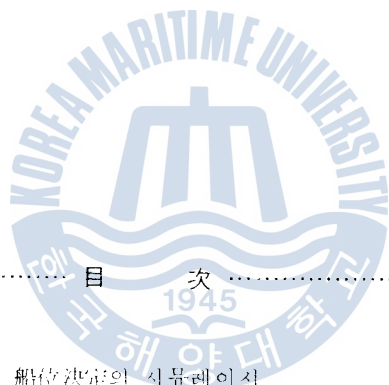


OMEGA-NNSS HYBRID 方式에 依한 決定船位의 精度에 關한 研究

梁 鍾 免

A Study on the Accuracy of Ship's position
determined by Omega-NNSS Hybrid System

Jong-myeon Yang



I. 序 論

II. NNSS에 依한 船位決定의 사유래이진

1. 積算 Doppler Shift의 逆算

2. Doppler 積算值에 依한 船位決定

III. 오페가 船位決定 사유래이진

1. 오페 가의 Lane 值 逆算

1. 오페 가 船位決定

IV. 사유래이진에 依한 OMEGA - NNSS HYBRID 方式的 評價

V. 實測에 依한 OMEGA - NNSS HYBRID 方式的 評價

VI. 結 論

參考文獻

附 錄

ABSTRACT

Recently the Hybrid Navigation System has attracted attention, where position data of multiple navigation systems are compounded to determine more reliable fix.

The NNSS (Transit navigation system) is a useful navigation aid which can determine fixes through the global coverage with relatively high accuracy. However, it requires a complementary system to produce fixes continuously, since it has a major limitation of producing fixes only at the irregular and long time intervals.

On the other hand, the Omega system presents a continuous fix data in its global coverage, but needs a method of complementing its poor for accuracy due to variation of Omega wave propagation velocity. Thus Omega-NNSS Hybrid system has been proposed in order to compensate the demerits of NNSS and/or Omega navigation system by many researchers.

In this paper, the evaluation on the ships position-fix accuracy of conventional Omega-NNSS Hybrid system has been carried out by both methods; computer simulation and real measurements on board. From this study it has been known that the standard deviation of the fixes by this system is less than one third of that of Omega fixes.

I. 序 論

NNSS (Navy Navigation Satellite System) 航法은 現在 오메가를
除外한 唯一한 全世界的, 全天候的 航法이며, 그 精度는 오메가의
10 倍 程度로 1960 年 以後 美海軍에서 오랜 研究끝에 그 實用性
이 立證되어, 一般商船 및 艦船은 물론 漁船에 까지 搭載되어 海
上에서의 信賴度 높은 航法으로 精度 높은 船位를 提供하고 있다.
그러나, 衛星의 船舶의 可視範圍에 들어오는 것이 하루에 十數回
內外이며, 이 時間帶에만 船位測定이 可能하다는 本質的인 制約이 시
스템의 大問題點으로 提起되어 왔다.^{1), 2)}

한편, 오메가 航法方式은 2 局으로부터 發射하는 持續性 超長波
의 位相을 比較 测定하여 双曲線의 位置線을 求하는 方式으로, 周
波數가 대단히 높으므로 (10 ~ 14 KHz) 傳送距離가 대단히 길어서 全
世界에 8 個의 送信局을 設置하므로서 현재 어디서나 4 局 대지
5 局의 電波를 受信할 수 있고, 適節한 交角을 갖는 3~4 組의 位
置線을 選擇할 수 있어서 比較的 正確한 船位를 求할 수 있을 것
으로 期待되어 왔으나, 이온層의 狀態變動에 따르는 電波傳播速
度의 正確한豫測이 어려워 實際로는 初期에 期待했던 船位誤差의
2 ~ 3 倍의 誤差를 나타내고 있는 實情이다.¹⁾

오메가 電波의 傳播經路는 대단히 길어서 本船位置의 적은 變化
에 對하여 오메가 電波의 傳播條件이 크게 變하지 않는다는 假定
下에, 比較的 正確한 NNSS 位置로 오메가 傳播速度誤差修正을 하

고 NNSS 가 受信되지 않는 동안에는 이 오메가 修正值를 利用하여 오메가船位를 決定하는 OMEGA - NNSS HYBRID 方式이 提案되어 있으나³⁾ 이 方式에 依한 精度의 評價는 거의 全無한 實情이다. 따라서 本 論文에서는 OMEGA - NNSS BYBRID 方式에 依한 船位의 精度를 시뮬레이션 및 實測을 通하여 評價하였다. 그結果, 本 HYBRID 方式에 依한 船位가 從來 오메가方式에 依한 船位보다 2 ~ 3 倍의 精度를 가짐을 確認하였다.

NNSS에 依한 船位決定 시뮬레이션에서는 Transit 衛星의 軌道要素를 적절히 設定한 後 Doppler 値를 計算하고 여기에 測定值에서 推定한 正規分布誤差를 부여하여 얻어진 位置를 NNSS에 依한 船位로 하였다. 또, 오메가에 依한 船位決定 시뮬레이션에서는 本船位置에서 오메가 送信局까지의 距離를 計算하여 Lane 數를 計算하고 여기에 實測에서 觀測된 크기의 正規誤差를 부여하여 얻어진 Lane 값을 오메가 Lane 값으로 하였으며, 이 Lane 값을 利用하여 Omega에 依한 船位로 하였다. 이와같이 해서 求한 Omega Fix와 NNSS Fix를 利用하여 補正을 行한 船位 (Fix by Hybrid System) 를 比較 檢討함으로써 Hybrid 方式의 有效性을 評價하였다.

한편, 本 大學 實習船이 航海時에 2 日동안 實測한 NNSS에 依한 船位와 오메가에 依한 船位를 利用하여 本 HYBRID 方式의 實用性을 實驗的으로 立證하였다.

II. NNSST 依한 船位決定의 시뮬레이션

II-1 積算 Doppler Shift 의 逆算

1. 船位測定의 原理

實際의 TRANSIT 衛星에서는 399.968 MHz 및 149.988 MHz의 高 安定送信波에 每 2 分마다 6,103 bit의 느린 位相變調를 하여 正 確한 時報와 더불어 軌道要素 및 衛星의 動作狀態에 關한 情報를 되풀이하여 送信하고 있으므로, 時報사이의 2 分間의 Doppler 를 積 算하여 하나의 位置線을 얻게 된다.

大部分의 受信機는 自體가 가지고 있는 局部發振周波數 f_L (대개의 機種이 400 MHz 및 150 MHz 를 採用) 과 受信周波數 f_R (衛星의 發射周波數 f_T 가 Doppler 의 影響을 받은 結果임) 과의 beat 周波 數를 積算하는 方式을 採用하고 있다. 이것을 式으로 表示하면 積 算值 $N_k \text{ Hz}^{-1}$

$$N_k = \int_{t_{k-1} + \Delta t_{k-1}}^{t_k + \Delta t_k} (f_L - f_R) dt \quad \dots \dots \dots \quad (2.1)$$

여기서 Δt_k 는 t_k 的 時報가 衛星에서 發射되어 受信點에 到達 하는데 要하는 時間이며, 時刻 t_k 에 있어서 衛星으로부터 受信機까지의 距離를 光速으로 나눈 값이다. (2-1) 式을 變形하면 다음 式 과 같다.

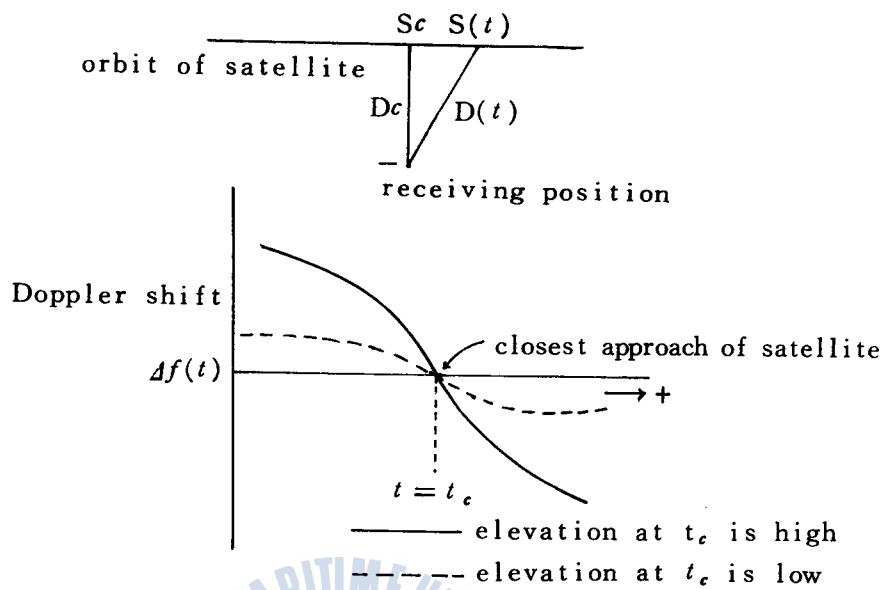


Fig. 1 Principle of Position-Fix by Doppler Effect

$$\begin{aligned}
 N_k &= \int_{t_{k-1} + \Delta t_{k-1}}^{t_k + \Delta t_k} f_L dt - \int_{t_{k-1} + \Delta t_{k-1}}^{t_k + \Delta t_k} f_R dt \\
 &= f_L(t_k + \Delta t_k - t_{k-1} - \Delta t_{k-1}) - \int_{t_{k-1}}^{t_k} f_T dt \\
 &= (f_L - f_T)(t_k - t_{k-1}) + f_L [D(t_k) - D(t_{k-1})]/C \\
 &= \Delta f \Delta T + f_L [D(t_k) - D(t_{k-1})]/C \quad \dots \quad (2-2)
 \end{aligned}$$

여기서 $D(t_k)$ 는 時刻 t_k 에 있어서의 衛星으로부터 受信機까지의 距離를 意味하며, C 는 光速이다. 上記 積分式에서 f_R 을 f_T 로 置換한 것은 時報사이의 波의 數가 送信이나 受信이나 同一하기 때문이며 f_L 은 時間의 函數가 아니다. (2-2) 式에서 $\triangle f$ 및 $\triangle T$ 가

既知의 常數이므로 N_k 를 해아리면 距離差를 알 수 있고 時刻 t_{k-1} 및 t_k 에 있어서의 衛星의 位置를 알면 双曲線인 位置線이 決定된다.

2. 計算 DATA

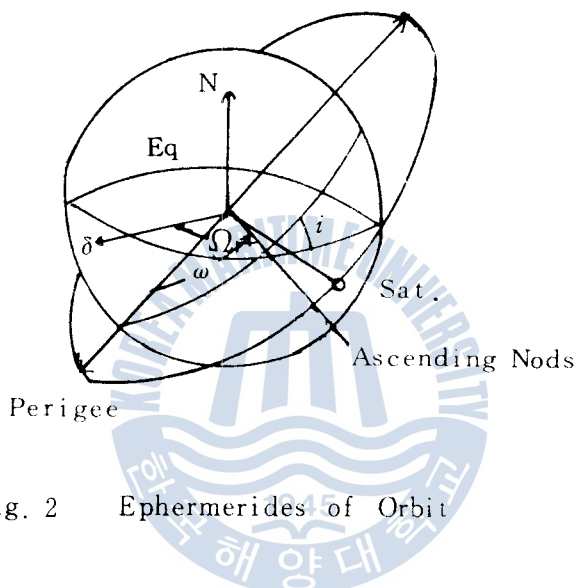


Fig. 2 Ephemerides of Orbit

本論文에서는 NNSS 船位決定의 시뮬레이션을 위하여 本船의 地位에 가깝게 衛星이 通過하도록 衛星의 軌道要素를 假定하고 每 24 秒 單位로 時刻信號를 發射하는 것으로 했다.

軌道의 6 要素는 Fig. 2에 나타나 있으며 각각의 要素 및 그 變化量은 表 1과 같다.

<表 1> 衛星의 軌道要 및 變化量

地球의 長半徑 (R)	3443.934	(nm)
衛星軌道離心率 (ϵ)	0.004012	
平均角運動 (n)	3.396226415	(deg/min)
軌道傾斜角 (i)	90	(deg)
昇交點赤經 (Ω)	50	(deg)
近地點引數 (ω)	90	(deg)
離心近點離角變化量 (ΔE_k)	0.0083	(deg)
軌道長半徑 (A)	4,023.9578	(nm)
軌道長半徑變化量 (ΔA)	0.0000613	(nm)
GHA γ	3.0	(deg)
地球自轉角速度 (ω_e)	0.25068448	(deg/min)
안테나높이 + 지오이드높이	0.024838	(nm)
近地點引數 變化率 ($\Delta \omega$)	0.000022	(deg/min)

3. 衛星 및 受信點 位置의 直接座標系로의 變換

시뮬레이션을 為하여 衛星으로부터의 軌道情報 를 使用하여 楕圓軌道上 衛星의 位置를 求하고 回轉橢圓體인 地球表面上 船位와 共通된 直交座標系上에 表示하기 위하여 地球中心을 原點으로 하고 北極方向을 Z 軸, 赤道面에서 經度 0 度의 方向을 X 軸, 經度 90 度 E 的 方向을 Y 軸으로 하는 直交座標系를 設定한다.

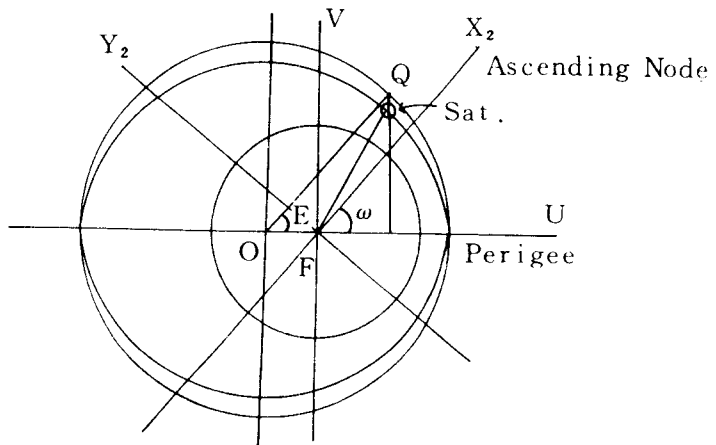
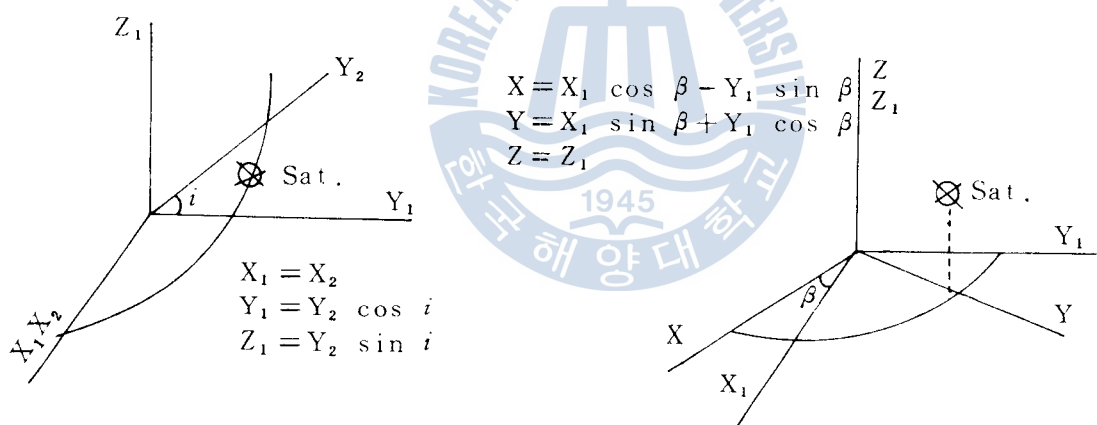
Fig. 3 Coordinates Rotation by ω Fig. 4 Coordinates Rotation by i Fig. 5 Coordinates Rotation by β
($=\Omega - GHT \gamma$)

Fig. 3에서 地球中心 F를 原點으로 하고 近地點方向을 U軸, 이
와 直角方向을 V軸이라 하면 軌道橢圓上 衛星의 位置는 다음 (2
-3) 式과 같아 表示된다.⁴⁾

$$\begin{aligned} U_k &= A_k (\cos E_k - \epsilon) \\ V_k &= A_k \sqrt{1 - \epsilon^2} \sin E_k \end{aligned} \quad \left. \right\} \quad (2-3)$$

但, A_k (軌道의 平均長半徑) = $A + \Delta A_k$

$$E_k \text{ (離心近點離角)} = M_k + \epsilon \sin M_k + \Delta E_k$$

ϵ (離心率)

$$M_k \text{ (平均近點離角)} = n \times \Delta t_k$$

U_k 와 V_k 로 表示되는 軌道橢圓上의 衛星의 位置는 昇交點方向 X_2 및 그 直角方向 Y_2 의 2次元座標系로 變換되고 Fig. 4 및 Fig. 5에 나타나 있는 바와 같이 近地點引數 (ω), 軌道傾斜角 (i), 昇交點赤經 (Ω) 을 考慮하여 t_k 時에 上記한 地球座標系의 3要素를 求하면, 衛星의 座標, X_{sk} , Y_{sk} , Z_{sk} 는

$$\left. \begin{aligned} X_{sk} &= X_k \cos \beta_k - Y_k \cos i \sin \beta_k \\ Y_{sk} &= X_k \sin \beta_k - Y_k \cos i \cos \beta_k \\ Z_{sk} &= Y_k \sin i \end{aligned} \right\} \quad (2-4)$$

但, $\beta_k = \Omega_k + \Omega^\circ \Delta t_k - GHA r - \omega_e \Delta t_k$

$$X_k = U_k \cos \omega_k + V_k \sin \omega_k$$

$$Y_k = -U_k \sin \omega_k + V_k \cos \omega_k$$

$$\omega_k = \omega + \dot{\omega} \times \Delta t_k$$

로 나타낼 수 있다.

또, Doppler 測定時의 受信點의 位置는 안테나 및 지오이드의

높이를 考慮하여 X_{nk} , Y_{nk} , Z_{nk} 로 表示한다.

$$\left. \begin{array}{l} X_{nk} = \{ (R^2/D_K) + h \} \cos \varphi_k \cos \lambda_k \\ Y_{nk} = \{ (R^2/D_K) + h \} \sin \varphi_k \sin \lambda_k \\ Z_{nk} = \{ \frac{R^2 (1-f)^2}{D_K} + h \} \sin \varphi_k \end{array} \right\} \cdots \cdots \cdots \quad (2-5)$$

但, $D_K = R \{ \cos^2 \varphi_k + (1-f)^2 \sin^2 \varphi_k \}^{1/2}$

h = 지오이드높이 + 안테나높이

φ_k = 受信點의 衛度 (deg)

λ_k = 受信點의 經度 (deg)

R = 地球長半徑

f = 地球의 偏平率

地球上 受信點의 移動은 衛星의 移動에 比하여 微小하므로 地球의 偏平率을 無視하고 針路 d (deg), 速力 v (K_T) 를 航走한다고 假定하여 $t=0$ 인 位置 (φ_0, λ_0) 를 基準으로 $K = 1, 2, \dots$ 일 때 的 船位를 求하면⁵⁾,

$$\left. \begin{array}{l} \varphi_k = \varphi_0 + \frac{t_k \cos d}{60} \times \frac{v}{60} \\ \lambda_k = \lambda_0 + \frac{t_k \sin d}{60} \times \frac{v}{60 \cos \varphi_k} \end{array} \right\} \cdots \cdots \cdots \quad (2-6)$$

로 나타낼 수 있다.

4. 衛星과 受信點과의 距離變化의 差

衛星과 受信點間의 Doppler 測定時 距離는 (2-4) 및 (2-5) 式
으로부터 다음과 같이 求할 수 있다.

$$S_k = (X_k^2 + Y_k^2 + Z_k^2)^{\frac{1}{2}} \quad \dots \dots \dots \quad (2-7)$$

$$\text{但}, \quad X_k = X_{sk} - X_{nk}$$

$$Y_k = Y_{sk} - Y_{nk}$$

$$Z_k = Z_{sk} - Z_{nk}$$

따라서 t 가 $(K-1)$ 부터 K 가 될 때까지의 計算距離 變化는

$$D_{ck} = S_k - S_{k-1} \quad \dots \dots \dots \quad (2-8)$$

가 된다.

또, Doppler Counter 值에 依한 實測距離變化 D_{ok} 는⁴⁾

$$D_{ok} = L_o (N_k - \Delta t \Delta f) \quad \dots \dots \dots \quad (2-9)$$

但, L_o ; 受信機內의 基準發振器의 發振周波數의 波長

Δf ; 受信機의 基準周波數와 送信周波數의 差異

N_k ; (2-1) 式에 依한 積算值

가 된다.

II - 2 Doppler 積算值에 依한 船位決定

1. 船位決定

受信時의 真位置와 推測位置의 經度差를 $\triangle\lambda$, 緯度差를 $\triangle\varphi$ 라 하면 緯度 및 經度의 微少變化量이 각各 Doppler 積算值에 미치는 影響은

$\{(\partial S_k / \partial \varphi) - (\partial S_{k-1} / \partial \varphi)\} \triangle\varphi$ 및 $\{(\partial S_k / \partial \lambda) - (\partial S_{k-1} / \partial \lambda)\} \triangle\lambda$ 가 되며, 따라서 緯度와 經度가 同時에 誤差가 있을 때 t_{k-1} 과 t_k 時間 및 t_k 와 t_{k+1} 時間에 있어서의 位성으로부터 船舶의 真位置 및 推測位置까지의 距離差 $D_{ok} - D_{ek}$ 는¹⁾ 近似的으로

$$\left. \begin{aligned} & \left(\frac{\partial S_k}{\partial \varphi} - \frac{\partial S_{k-1}}{\partial \varphi} \right) \triangle\varphi + \left(\frac{\partial S_k}{\partial \lambda} - \frac{\partial S_{k-1}}{\partial \lambda} \right) \triangle\lambda = D_{ok} - D_{ek} \\ & \left(\frac{\partial S_{k+1}}{\partial \varphi} - \frac{\partial S_k}{\partial \varphi} \right) \triangle\varphi + \left(\frac{\partial S_{k+1}}{\partial \lambda} - \frac{\partial S_k}{\partial \lambda} \right) \triangle\lambda = D_{ok+1} - D_{ek+1} \end{aligned} \right\} \quad (2-10)$$

로 表示한다.

여기서 $(\partial S_k / \partial \varphi)$ 와 $\partial S_k / \partial \lambda$ 是 대단히 複雜하므로 다음과 같아 $(2-7)$ 式을 強制微分한

$$\begin{aligned} \frac{\partial S_k}{\partial \varphi} &= \frac{D_k(\triangle t_k, \varphi + 1.0 \times 10^{-8}, \lambda) - D_k(\triangle t_k, \varphi, \lambda)}{1.0 \times 10^{-8}} \\ \frac{\partial S_k}{\partial \lambda} &= \frac{D_k(\triangle t_k, \varphi, \lambda + 1.0 \times 10^{-8}) - D_k(\triangle t_k, \varphi, \lambda)}{1.0 \times 10^{-8}} \end{aligned} \quad (2-11)$$

을 利用했다.

따라서 (2-10) 式의 係數를 求하는 式은

$$K_1 \Delta\varphi + K_2 \Delta\lambda = K_0 \quad \dots \dots \dots \quad (2-12)$$

$$\text{但, } K_1 = \frac{\partial S_k}{\partial \varphi} - \frac{\partial S_{k-1}}{\partial \varphi}$$

$$K_2 = \frac{\partial S_k}{\partial \lambda} - \frac{\partial S_{k-1}}{\partial \lambda}$$

로 表現되는 2 元 1 次方程式을 解을 수 있다. (2-12) 式에 있어
서 각각의 Δf 마디의 K_0 값을 이용하여 최소자승법에 의한 最確
值를 $\Delta\varphi$ 및 $\Delta\lambda$ 로 求하고,

$$\left. \begin{array}{l} \varphi_k = \varphi_k + \Delta\varphi \\ \lambda_k = \lambda_k + \Delta\lambda \end{array} \right\} \dots \dots \dots \quad (2-13)$$

에 依하여 正確한 受信位置를 求할 수 있다.

2. 仰角計算

NNSS에 依한 船位의 精密度는 衛星의 高度(仰角)와 關係가
깊으므로 參考로 衛星의 仰角을 計算하면, Vector 論에서 2 個의 線
分이 이루는 角 θ 는 다음과 같다.

$$\cos \theta = \frac{(X_s - X_n) X_n + (Y_s - Y_n) Y_n + (Z_s - Z_n) Z_n}{D \cdot R}$$

그리므로 Doppler 測定時의 仰角을 α_k 라 하면,

$$\cos \theta = \cos (\alpha_k + 90^\circ) = \sin \alpha_k \circ$$

$$\alpha_k = \sin^{-1} \left\{ \frac{(X_{sk} - X_{nk}) X_{nk} + (Y_{sk} - Y_{nk}) Y_{nk} + (Z_{sk} - Z_{nk}) Z_{nk}}{D_k \cdot R} \right\}$$

..... (2-14)

로 나타낼 수 있다.



III. 오메가 船位決定 시뮬레이션

III-1 오메가의 Lane 值 逆算

1. 標準周波數에 依한 Lane number

오메가方式의 標準周波數 (10.2 KHz) 를 利用한 地球上 任意의 點에 서의 Lane number 를 나타내는 式은 다음과 같이 表示될 수 있다.

$$\begin{aligned}\phi^{AC} &= \phi^A - \phi^C + 900 \\ \phi^{AD} &= \phi^A - \phi^D + 900\end{aligned}\quad \left.\right\} \quad (3-1)$$

但, $\phi^A = \frac{f \cdot D^A}{V_p}$

$$\phi^C = \frac{f \cdot D^C}{V_p}$$

$$\phi^D = \frac{f \cdot D^D}{V_p}$$

$$f = 10.2 \times 1000 \text{ Hz} : \text{標準周波數}$$

$$V_p = 300574 / 1.852 : \text{平均傳播位相速度 (mile/sec)}$$

D^A, D^C, D^D : 各各의 오메가 送信局 A, C, D에서 受信點까지의 距離

2. 平均傳播位相速度의 日變化量

傳播位相速度 V_p 는 太陽의 天頂角에 對한 COSINE 의 3 次函數로 近似시킬 수 있으며,⁶⁾

$$V_p = 161,307.9221 + 464.67043 (\cos X) - 466.61651 (\cos X)^2 \\ + 426.08234 (\cos X)^3 \text{ (mile/sec)} \quad \dots \dots \dots \quad (3-2)$$

이고, (3-2) 式에 對한 計算值는 Fig. 6 과 같다.

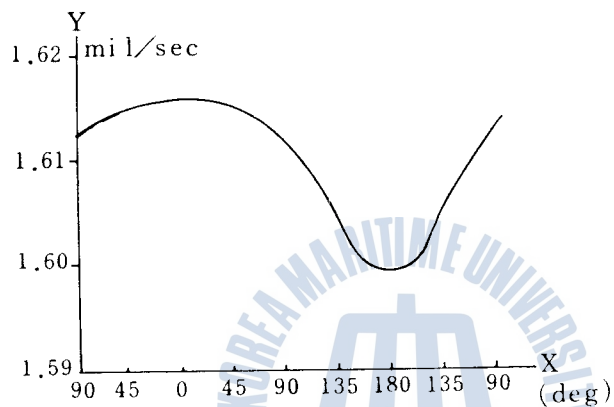


Fig. 6 Phase velocities (V_p) V.S. the solar zenith angle

따라서 傳播位相速度 V_p 는 曙間에 가장 크고 夜間에 가장 작으며, 日出沒時에는 그 사이의 값이 된다. 그러나 本 시뮬레이션에서는 傳播速度 V_p 를 (3-3) 式으로 近似하였다.⁶⁾

$$V_p = 162296.976 \cdot \cos(MT) \quad \dots \dots \dots \quad (3-3)$$

但, MT : 送受信點의 平均經度에서 平均太陽의 치 방시각

3. 傳播經路長의 計算

오메가海圖는 로오란海圖와 마찬가지로 Clarke의 回轉橢圓體가 地球의 모양을 正確히 나타낸다는 假定下에 計算되며 回轉橢圓體上의

距離는 Andoyer-Lambert 의 式을 使用하여 計算된다. Andoyer-Lambert 式은 地球의 赤道半徑과 같은 半徑을 가지는 球面上의 距離를 計算하고 여기에 回轉橢圓體에 對한 修正을 加하여 地球上의 距離를 求한다. 即, 地球上의 두 點사이의 距離 D 는 다음의 (3-4) 式으로 表示할 수 있다.⁹⁾

$$D = R_o (\theta_1 + \theta_2) \quad \dots \dots \dots \quad (3-4)$$

但, R_o : 地球의 赤道半徑 (6378.206 Km)

θ_1 : 두 點間의 角距離 (rad)

θ_2 : 回轉橢圓體에 對한 修正值 (rad)

두 點間의 角距離 θ_1 은

$$\theta_1 = \cos^{-1} [\sin \varphi_1 \cdot \sin \varphi_2 + \cos \varphi_1 \cdot \cos \varphi_2 \cdot \cos (\lambda_2 - \lambda_1)] \quad \dots \dots \dots \quad (3-5)$$

但, λ_1 : 送信局의 經度

λ_2 : 受信局의 經度

φ_1 : 送信局의 緯度

φ_2 : 受信局의 緯度

와 같이 表視된다.

또, 回轉橢圓體에 對한 修正值 θ_2 는 다음 (3-6) 式으로 求해 진다.⁷⁾

$$\begin{aligned}\theta_2 = \frac{f}{4} \left\{ \frac{(3 \sin \theta_1 - \theta_1)(1 + S + C)}{1 + \cos \theta_1} (1 + S + C) \right. \\ \left. - \frac{(3 \sin \theta_1 + \theta_1)(1 - S + C)}{1 - \cos \theta_1} (1 - S - C) \right\} \dots \quad (3-6)\end{aligned}$$

但, $f = \frac{1}{295}$ (地球의 偏平率)

$$S = \sin \varphi_1 + \sin \varphi_2$$

$$C = \cos \varphi_1 + \cos \varphi_2$$

III - 2 오메가 船位決定

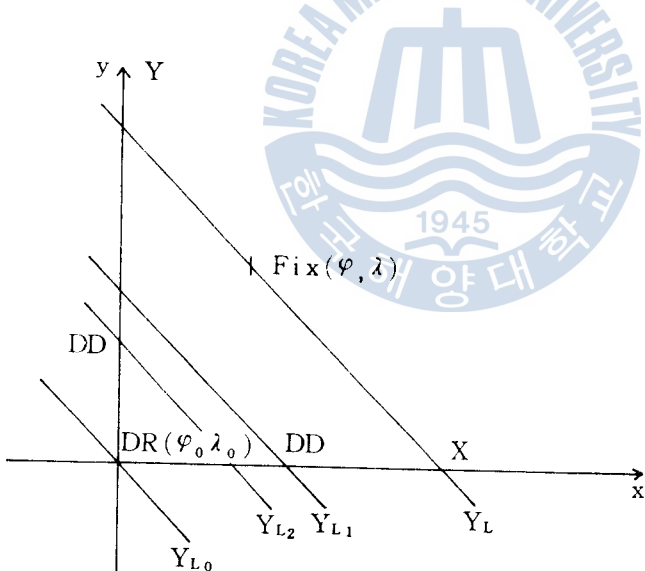


Fig. 7 Finding of Omega Fix

Fig. 7에서 推測位置는 求하고자 하는 點 (Fix)에 가까이 있다고 할 수 있다. 따라서 그附近에 있어서는 오메가의 位置線이 平行

이 고 또 平行으로 볼 수 있는 範圍內에서 推測位置를 原點으로 하여 東쪽으로 X 軸을, 北쪽으로 Y 軸을 定한다.

原點을 지나는 位置線의 Lane 值를 Y_{L0} , 原點으로부터 X 軸上의 經度差 X 떨어진 地點을 通하는 位置線의 Lane 值를 Y_L , 微少한 經度差 DD 떨어진 地點을 通過하는 位置線의 Lane 值를 Y_{L1} 이라 하면, 다음의 (3-7) 式과 같은 關係가 있다.

$$\frac{X}{DD} = \frac{Y_L - Y_{L0}}{Y_{L1} - Y_{L0}} \quad \dots \dots \dots \quad (3-7)$$

또한, 推測位置로부터 Y 軸方向으로 DD 떨어진 地點을 通하는 位
置線의 Lane 值를 Y_{L2} , Lane 值 Y_L 인 位置線의 y 截片을 Y 라 하
면, 다음 (3-8) 式의 關係가 있다.

$$\frac{Y}{DD} = \frac{Y_L - Y_{L0}}{Y_{L2} - Y_{L0}} \quad \dots \dots \dots \quad (3-8)$$

따라서 Lane 值 Y_L 인 位置線의 方程式은 (3-9) 式으로 表示된
다.

$$y = -\frac{Y}{X}x + Y$$

$$= \frac{Y_{L1} - Y_{L0}}{Y_{L2} - Y_{L0}} x + \frac{Y_L - Y_{L0}}{Y_{L2} - Y_{L0}} \cdot DD \quad \dots \dots \dots \quad (3-9)$$

마찬가지로 組局이 다른 LANE NUMBER Y_M 인 位置線의 方程式은
(3-10) 式과 같다.

$$y = -\frac{Y_{M1} - Y_{M0}}{Y_{M2} - Y_{M0}} x + \frac{Y_M - Y_{M0}}{Y_{M2} - Y_{M0}} \cdot DD \quad \dots \dots \dots \quad (3-10)$$

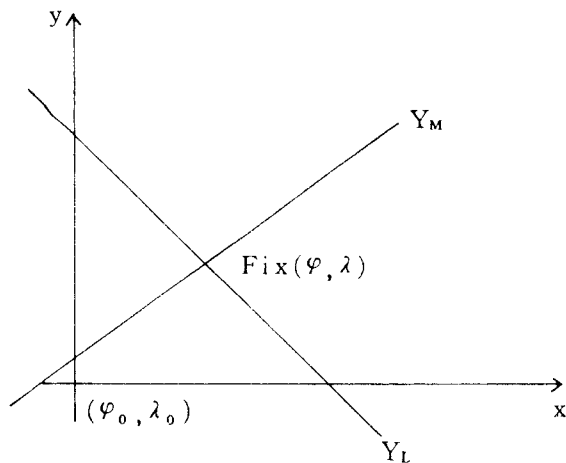


Fig. 8 OMEGA Fix

(3-10) 式을 連立하면, 그 解는 다음의 (3-11) 式이 된다.

$$\left. \begin{aligned} x &= \frac{(Y_{L_2} - Y_{L_0})(Y_M - Y_{M_0}) - (Y_L - Y_{L_0})(Y_{M_2} - Y_{M_0})}{(Y_{L_2} - Y_{L_0})(Y_{M_1} - Y_{M_0}) - (Y_{L_1} - Y_{L_0})(Y_{M_2} - Y_{M_0})} \cdot DD \\ y &= \frac{(Y_L - Y_{L_0})(Y_{M_1} - Y_{M_0}) - (Y_{L_1} - Y_{L_0})(Y_M - Y_{M_0})}{(Y_{L_2} - Y_{L_0})(Y_{M_1} - Y_{M_0}) - (Y_{L_1} - Y_{L_0})(Y_{M_2} - Y_{M_0})} \cdot DD \end{aligned} \right\} \dots (3+11)$$

그러므로 오메가에 依한 船位에 該當되는 緯度, 經度를 各各 (3
- 12) 式으로 表示할 수 있다.

$$\left. \begin{array}{l} \varphi = \varphi_0 + y \\ \lambda = \lambda_0 + x \end{array} \right\} \dots \quad (3-12)$$

(3-12) 式에 依하여 計算한 船位를 다시 推測位置로 하고, DD

값을 0.0000025 rad (0.009 마일)로 놓고 修正量 x, y 가 DD 보다
작아질 때까지 反復計算하여 얻어진 船位를 omega fix로 한다.



IV. 시뮬레이션에 依한 OMEGA-NNSS HYBRID 方式의 評價

1. HYBRID 方式에 依한 船位決定方法

OMEGA-NNSS Hybrid 方式에 依한 船位決定은 오메가 電波의 目變化가 比較的 規則的이고, 短은 시간 (NNSS Fix 가 求해지는 평균시간 간격) 동안에는 傳播條件이 크게 變化하지 않는다는 假定下에 다음의 순서에 依하여 行하였다.

- 1) NNSS Fix 를 真位置와 一致한다고 假定하여, NNSS Fix 를 (3-1) 式을 利用하여 OMEGA Lane 值 ($\phi_{T^{AC}}$, $\phi_{T^{AD}}$) 로 환산한다.
- 2) NNSS Fix 가 열어진 時刻에 있어서 測定 또는 시뮬레이션에 依하여 열어진 Lane 值 ($\phi_{S^{AC}}$, $\phi_{S^{AD}}$) 와 NNSS Fix 로서의 Lane 值 ($\phi_{T^{AC}}$, $\phi_{T^{AD}}$) 를 利用하여 PPC 값 ($\Delta\phi^{AC}$, $\Delta\phi^{AD}$) 를 求한다.

$$\Delta\phi^{AC} = \phi_{T^{AC}} - \phi_{S^{AC}}$$

$$\Delta\phi^{AD} = \phi_{T^{AD}} - \phi_{S^{AD}}$$

- 3) 測定 또는 시뮬레이션에 依한 Lane 值에 PPC 값을 수정하여, Hybrid 方式에 依한 Lane 值 ($\phi_{H^{AC}}$, $\phi_{H^{AD}}$) を 한다.

$$\phi_{H^{AC}} = \phi_{S^{AC}} + \Delta\phi^{AC}$$

$$\phi_{H^{AD}} = \phi_{S^{AD}} + \Delta\phi^{AD}$$

4) Hybrid 方式에 依한 Lane 值로부터 (III-2) 에 기술한 方法에 依하여 船位를 計算한다.

2. HYBRID 方式의 評價

實測한 NNSS fix 에는 이온層 및 大氣圈에서의 電波의 屈折, 受信機 局部發振周波數 및 衛星의 送信周波數의 變動, 衛星軌道要素의 誤差等으로 實測한 Doppler 積算值에 誤差가 介入되며, 그 크기를 實測值로부터 평가하면 Doppler 積算值의 0.0002 % (σ 値) 임이 確認되었다. 따라서 시뮬레이션에서 이러한 크기의 正規分布를 갖는 誤差를 부여하였다.

한편, 오메가의 平均位相速度는 300,574 km/sec (162296.9762 mile/sec)이며, 曙夜間의 傳播速度의 差는 約 1782 mile/sec 로 報告되어 있다. 오메가의 PPC 空에 電波의 日變化에 依한 誤差가 包含되므로, 實測에서 確認된 오메가 電波位相速度의 標準最大日變化量인 0.01098 의 1/1500 的 σ 値를 갖는 正規誤差를 挿入하였다.

시뮬레이션 結果는 表 2 와 같으며 이 表에 依하면 HYBRID 方式을 取함으로써 오메가船位의 精度의 標準偏差를 3 分의 1 로 줄일 수 있음을 보여 주고 있다.

本 시뮬레이션의 DATA는 推測位置 35° N, 129° E 本船針路 163°, 本船速力 18.5 knots 로 하였으며

①은 각각의 時刻에서 求해진 NNSS Fix

②는 각각의 NNSS Fix에서의 誤差分布를 mile 로 나타낸 값

- ③ 은 衛星仰角의 變化狀態를 表示
- ④ 는 NNSS에 依한 位置로부터 구해진 Lane 값
- ⑤ 는 計算된 Lane 값을 오메가傳播補正表를 利用하여 求한 位置
- ⑥ 은 計算된 Lane 을 HYBRID 方式에 依한 PPC 를 利用하여 求한 船位
- ⑦의 DIST 1 는 NNSS FIX 와 PPC Table 에 依한 船位間의 距離
- ⑧의 DIST 2 는 NNSS FIX 와 HYBRID 方式의 PPC 에 依한 船位間의 距離
를 나타낸다.



<表 2> 시뮬레이션에 依한 HYBRID 方式의 精度分析

TIME	0 ^H - 0.0 ^M	1 ^H - 46.0 ^M	-0 ^H - 20.0 ^M
① NNSS FIX	34.99485 N 128.9949 E	34.46102 N 129.1514 E	35.09786 N 128.9675 E
② DEVIATION	0.4834079	3.429830	0.2101832
③ ELEVATION	60.25 ~ 13.64	20.23 ~ 63.53	-7.29 ~ 54.30
④ CALCULATED LANE (A-C/A-D)	911.4602 821.8648	913.6739 822.4151	911.0442 821.7658
⑤ OMEGA 1 FIX	35.00105 N 128.8954 E	34.54636 N 129.1353 E	35.10585 N 128.8680 E
⑥ OMEGA 2 FIX	35.03245 N 129.0202 E	34.48695 N 129.1734 E	35.13723 N 128.9930 E
⑦ DIST 1 (mile) (NNSS-OMEGA1)	4.903502	5.182313	4.907350
⑧ DIST2 (mile) (NNSS-OMEGA2)	0.02576519	1.897495	2.672318

$$\text{DIST 1} \quad \sqrt{\frac{\sum_{i=1}^n \epsilon_i^2}{n}} = 4.999426097$$

$$\text{DIST 2} \quad \sqrt{\frac{\sum_{i=1}^n \epsilon_i^2}{n}} = 1.892303236$$

$$\text{DIST 1/DIST 2} = 2.64$$

V. 實測에 依한 OMEGA-NNSS HYBRID 方式의 評價

V-1 測定時期 및 場所, 機器

1. 測定時期

1985 年 3 月 26 日 GMT 09⁵² 부터 3 月 27 日 GMT 06⁴⁵ 까지

NNSS FIX 가 求해지는 同一時間에 오메가 組局 A-C, A-E 를
測定하였다.

2. 測定場所

韓國海洋大學 實習船 'HANBADA' 沿岸航海中, 巨門島에서 釜
山港으로 航海中에 測定하였다.

3. 測定機器

① 오메가 : Model JLA-101K, JRC

② NNSS : Model TN-2900 J₂, TOKYO KEIKI

V-2 測定值

SAT FIX 와 오메가 Lane 값을 測定한 경우 表 3 과 같고 NNSS
FIX 가 求해 질 때 衛星의 高度가 適當치 못한 경우, 船位誤差가
커질 可能성이 있으므로 測定하지 않았으며,

①은 NNSS 受信機에서 測定한 經緯度 算(測定)

②는 ①項의 NNSS FIX 가 求해진 時刻에 있어서 오메가

<表3> 實測에 依한 HYBRID方式의 精度分析, 거문도-부산

	① SAT. FIX	② Q LANE	③ Q FIX (PPC TABLE)	④ PPC HYBRID	⑤ Q FIX (HYBRID)	⑥ DIST (SAT FIX -Q FIX)	⑦ DIST (SAT FIX -HYB FIX)
	LAT(N) LONG(E)	A-C A-E	LAT(N) LONG(E)	A-C A-E	LAT(N) LONG(E)		
3月 GMT							
26日	33°59'.29 127°24'.16	906.71 826.00	34°00'.0 127°21'.6	+ 18 - 7	33°59'.29 127°24'.16	2.07	0
10 ⁴⁵	34°02'.12 127°11'.61	905.70 826.08	34°03'.0 127°09'.0	+ 23 0	34°02'.95 127°11'.60	2.40	0.87
11 ²⁵	34°08'.71 127°17'.24	905.98 825.23	34°08'.9 127°16'.1	+ 10 - 2	34°08'.00 127°18'.80	1.40	1.30
12 ³¹	34°12'.03 127°32'.59	906.98 824.52	34°12'.4 127°28'.4	+ 33 - 9	34°12'.23 127°29'.62	3.70	2.60
14 ¹⁹	34°21'.09 127°49'.74	907.73 823.24	34°21'.8 127°46'.2	+ 30 - 4	34°21'.60 127°49'.36	3.21	0.77
15 ¹⁹	34°22'.86 128°06'.53	909.06 822.49	34°22'.7 128°04'.7	+ 13 - 6	34°21'.96 128°08'.60	1.56	1.80
17 ⁰⁵	34°26'.25 128°27'.74	910.56 821.57	34°27'.1 128°24'.3	+ 27 0	34°27'.20 128°26'.68	2.78	1.48
19 ³⁶	34°33'.73 128°47'.53	912.12 820.38	34°35'.6 128°45'.2	+ 26 - 11	34°34'.66 128°48'.20	2.80	1.17
21 ¹⁵	34°58'.12 129°10'.72	912.77 817.79	35°00'.4 129°14'.8	- 11 + 29	34°58'.40 129°17'.00	3.45	4.40
23 ⁴⁵	34°14'.14 129°26'.04	913.02 815.78	35°16'.9 129°27'.8	0 + 29	35°14'.60 129°24'.75	3.19	1.15
27日							
00 ¹⁵	34°08'.65 129°21'.81	912.94 816.50	35°11'.7 129°22'.1	+ 5 + 23	35°08'.40 129°20'.90	2.50	0.90
01 ³³	34°53'.84 129°08'.62	912.62 818.23	34°57'.9 129°09'.9	+ 9 + 38	34°55'.60 129°09'.08	4.15	1.70
02 ⁰⁰	34°48'.93 129°04'.61	912.68 818.97	34°50'.7 129°06'.1	- 2 + 19	34°46'.80 129°04'.66	2.20	2.26
02 ³³	34°53'.87 129°05'.44	912.46 818.41	34°56'.2 129°07'.1	0 + 24	34°54'.60 129°05'.55	2.70	0.70
03 ⁰⁹	35°00'.32 129°12'.04	912.46 817.77	35°02'.3 129°12'.1	+ 9 + 17	35°00'.00 129°10'.50	1.95	1.30
04 ¹⁹	35°12'.52 129°22'.83	912.32 816.32	35°16'.2 129°21'.5	+ 27 + 29	35°14'.30 129°21'.50	3.80	2.00
06 ⁴⁵	35°05'.02 129°06'.05	912.31 817.46	35°08'.0 129°06'.3	+ 15 + 25	35°04'.40 129°07'.50	2.95	1.20
					標準編差 = $\sqrt{\frac{\sum_{i=1}^n \varepsilon_i^2}{n}}$	2.8469	1.7775

Lane 番號 (測定)

(3)은 (2)項의 Lane 값으로 오메가傳播補正表 (PPC Table) 에

依해 求해진 位置 (計算)

(4)는 (1)項과 (3)項의 位置를 比較하여 NNSS FIX 가 求해진

時間마다 오메가 Lane 番號에 依해 計算된 HYBRID 方式

에 依한 값

(5)는 (4)項의 HYBRID 方式에 依한 값을 修正值로하여 計算

된 HYBRID 方式의 오메가 位置

(6)은 (1)項과 (3)項의 位置 사이의 距離

(7)은 (1)項과 (5)項의 位置 사이의 距離

以上의 17 回 觀測에서 얻어진 結果를 <表 3>에 나타내었다.

<表 3>에서 (6)項과 (7)項의 각각의 값을 標準偏差 (σ)로 整理하여

比較하면 NNSS FIX를 基準으로 할 때 오메가에 依한 船位의

分散은 2.85 마일인 反面 Hybrid 方式에 依한 船位의 分散은 1

.78 마일이 되어 HYBRID 方式을 採擇하면 船位誤差의 分散은 1.1

마일程度 誤差를 줄일 수 있음이 確認되었다.

VI . 結 論

以上의 시뮬레이션 및 實測을 通한 解析에서 다음과 같은 結論 을 얻었다.

- 1) 決定된 NNSS 位置를 基準으로 하여 現在 一般的으로 使用되고 있는 Omega Propagation Table (오메가 傳播補正表) 을 利用하여 求한 船位와 OMEGA-NNSS HYBRID 方式에 依한 船位를 比較, 檢討한 結果 OMEGA-NNSS HYBRID 方式을 利用하여 얻어진 船位가 既存의 表를 利用한 方式보다 船位의 標準偏差 에 있어 $1/2 \sim 1/3$ 減少됨을 確認하였다.
- 2) 따라서 OMEGA-NNSS HYBRID 方式을 利用하면 任意의 時間 에 比較的 正確한 船位를 求할 수 있음을 立證하였다. 그러나 本 研究에서는 時間의 經過에 따른 PPC 값의 變化는 考慮하지 않았으므로 NNSS FIX를 얻은 時刻으로부터 時間이 經過 할수록 船位誤差는 커지게 되나 電波傳播速度의 變動이 比較的 느린 日變化 및 PCA (極冠吸收, Polar Cap Absorption) 的 狀況에서는 相當히 有效할 것으로 思料된다. 다만, SID (突然電離層攪亂, Sudden Ionospheric Disturbance) 的 경우에는 그 影響의 持續時間이 50 分 程度이므로 이러한 狀況下에서는 特別한 注意가 必要할 것이다.

3) 앞으로 OMEGA-NNSS HYBRID 方式에 對한 精密한 評價를 위해서는 보다 精密한 電波傳播 Model 을 利用한 시뮬레이션 및 많은 實測을 통하여 다각적인 검토가 행해져야 할 것으로思料된다.



參 考 文 獻

1. 鄭世謨, ‘電波航法’, 韓國海洋大學 海事圖書出版部,
pp.210 ~ 260 (1980)
2. Routledge & Kegan Paul, ‘Marine electronic navigation’,
S.F. Appleyard, London, pp. 130 ~ 206 (1980)
3. FURUNO ELECTRIC Co., LTD, FURUNO OPERATOR'S MANUAL,
SATELLITE NAVIGATOR MODE FSN-70, NISHINOMIYA,
JAPAN (1984)
4. 日本運輸省 船員局, ‘NNSS 航法’, 東京プリント, pp.49 ~ 53
(1973)
5. 梁昌珍, ‘NNSS 船位誤差의 偏差를 利用한 速度誤差消法에 關
한 研究’, 韓國海學會誌 第 4 卷 第 1 號, pp. 4 ~ 6 (1980)
6. 金東一, 오메가電波의 位相豫測에 關한 研究, 韓國航海學會誌
第 1 卷 第 1 號, pp. 11 ~ 12 (1977)
7. 金東一, ‘오메가波 傳播補正의 精度에 關한 研究’, 韓國海洋
大學 論文集(自然科學編), pp. 160 ~ 161 (1979)
8. OMEGA PROPAGATION TABLES (AREA 09 STATION A,C,D),
DMAHC (1974)
9. オメガ 航法編輯委員會, オメガ 航法, 鶴巻書房, 東京, pp. 141 ~ 149
(1958)

UMOS/D E004 FORTRAN VOL/L05 -760101- 85.06.11 PAGE 0001

SOURCE STATEMENT

PROGRAM FOR COMPARING HYBRID SYSTEM AND PPC TABLE

```
DOUBLE PRECISION TLT,TLN,TIME,DRPPO,DR000,CO,SPD,GMT0,STLAT
DOUBLE PRECISION STLON,RLTT,RLNN,GMT,CLAN,TIM,OMELT,OMELN,OMELN,PHAIS
DOUBLE PRECISION OMLT,OMLN,OLT,OLN,SIL1,SILA2,SIL02,SIG1,ISIG2,
RAD,PAI,CORD,DRLT,DRLN,PCS,PPCS
DIMENSION PC(3),PCC(2),D(3),CLAN(2),TLT(3),TLN(3),PHAIS(3),PCS(2)
1,PPCS(3)
COMMON IPPC(3,25)
RAD(M,X)=(FLOAT(M0+X/60.)*PAI/180.0
PAI=3.14159265359D00
READ(7,101) ((IPPC(I,J),J=1,25),I=1,3)
101 FORMAT(16I15)
WRITE(8,197)
197 FORMAT(1H,'PPC VALUES OF STATION A,C,D')
WRITE(8,198) ((IPPC(I,J),J=1,25),I=1,3)
```

```

PANAFACOM UMSOS/D E004 FORTRAN VOL/L05 -760101- 85.06.11 PAGE 0001

ISN STNO. SOURCE STATEMENT

      C PROGRAM FOR COMPARING HYBRID SYSTEM AND PPC TABLE

      1 DOUBLE PRECISION TLT,TLN,TIME,DRPPO,DR000,C0,SPD,GMT0,STLAT
      2 DOUBLE PRECISION STLN,RLTT,RLNN,GMT,CLAN,TIM,OMELT,OMELN,OMELN,PHAIS
      3 DOUBLE PRECISION OMLT,OMLN,OLT,OLN,SIL1,SILA2,SIL02,SIG1,ISIG2,
          RAD,PAI,CORD,DRLT,DRLN,PPCS,PPCS
      4 DIMENSION PC(3),PCC(2),D(3),CLAN(2),TLT(3),TLN(3),PHAIS(3),PCS(2)
          1,PPCS(3)
      5 COMMON IPPC(3,25)
      6 RAD(M,X)=(FLOAT(M0+X)/60.)*PAI/180.0
      7 PAI=3.14159265359D00
      8 READ(7,101) ((IPPC(I,J),J=1,25),I=1,3)
      9 101 FORMAT(16I15)
     10 WRITE(8,197)
     11 197 FORMAT(1H,'PPC VALUES OF STATION A,C,D')
     12 WRITE(8,198) ((IPPC(I,J),J=1,25),I=1,3)

```

```
13      198  FORMAT(16I5)
14      WRITE(8,199)
15      199  FORMAT(1H,'STATION NUMBER LATITUDE LONGITUDE')
16      DO 1 I=1,3
17      READ(7,102) MM,TLAT,NN,TLON,ISM
18      C   WHEN ISM IS 1,2,3 RESPECTIVELY THE STATION NAME IS A,C,D
19      C   RESPECTIVELY.
20      102  FORMAT(2(15,F10.3),15)
21      102  FORMAT(2(15,F10.3),15)
22      WRITE(8,200) ISM,MM,TLAT,NN,TLON
23      200  FORMAT(1H,6X,12,2(6X,14,F5.1))
24      J-ISM
25      TLT(J)=RAD(MM,TLAT)
26      1   TLN(J)=RAD(NN,TLON)
27      DO 10 KKK=1,3
28      10  TIME=FLOAT(KKK-1)*106.0
29      IF (KKK.EQ.3) TIME=-20.0
30      READ(7,103) DRPPO,DR000,CO,SPD
```

28 103 FORMAT(4F10.0)
29 CALL NNSSF(CO,SPD,TIME,DRPPO,DR000,STLAT,STLON)
30 WRITE(8,205) DRPPO,DR000,CO,SPD
31 205 FORMAT(10X,'DRLAT',F10,3,2X,'DRLONG',F10,3,2X,'COURSE',F10,3,2X,
 1'SPEED',F10,3)
32 RLTT=STLAT*PAI/180.0
33 RLNN=STLON8PAI/180.0
34 IF (KKK,NE,1) GO TO 55
35 RLTT0=RLTT
36 RLNNO=RLNN
37 55 CONTINUE
38 GMT=TIME/60.0
39 CALL ML0P(GMT,RLTT,RLNN,CO,SPD,CLAN,TLT,TLN,PHAIS)
40 WRITE(8,202(CLAN(1),CLAN(2))
41 202 FORMAT(10X,'CLAN(1)=' ,E18,7,5X,'CLAN(2)=' ,E18.7)
42 CORD=CO*PAI/180.0



43 DRPP=DRPP0*PAI/180.0
44 DR00=DR000*PAI/180.0
45 CALL DRP(DRPP,DR00,CORD,SPD,TIME,DRLT,DRLN)
46 DO 222 1-1,2
47 LL=IDINT(GMT)
48 TLM=(GMT=FLOAT(LL))*60.0
49 IF (KKK.NE.1) GO TO 66
50 CALL PPCST(TLT,TLN,RLTT,RLNNO,PHAIS,PPCS)
51 PCS(1)=PPCS(1)-PPCS(2)
52 PCS(2)=PPCS(1)-PPCS(3)
53 66 CONTINUE
54 CALL FIX(I,LL,TIM,DRLT,DRLN,CLAN,RLTT,RLNN,JJ,OMLT,KK,OMLN,1TLT,
55 TLN,PHAIS,PCS)
56 WRITE(8,206) I,LL,TIM,JJ,OMLT,KK,OMLN
57 206 FORMAT(1H,2I5,F10.3,2(I5,F10.4))
58 OLT=(FLOAT(JJ)+OMLT)/60.0



58 OLN=(FLOAT(KK)+OMLN/60.0)
59 WRITE(8,208) I,OLT,OLN,STLAT,STLON
60 208 FORMAT(1H,15,2X,'OMELAT',E15,7,2X,'OMELONG',E15,7,3X,1'STLAT',
 E15,7,2X,'STLON',E15.7)
61 IF(I.EQ.2) GO TO 21
62 SILA1=(STLAT-OLT)*60.0
63 SIL01=(STLON-OLN)*60.0
64 GO TO 22
65 21 SILA2=(STLAT-OLT)*60.0
 SIL02=(STLON-OLN)*60.0
66
67 22 CONTINUE
68 WRITE(8,209)
69 209 FORMAT(5X,'I=1: FIX BY PPC TABLE I=2: FIX BY HYBRID SYSTEM')
70 SIG1=DSQRT(SILA1**2+(SIL01*D COS(STLAT*PAI/180.0))**2)
71 SIG2=DSQRT(SILA2**2+(SIL02*D COS(STLAT*PAI/180.0))**2)
72 WRITE(8,207) SILA1,SIL01,SIL02,SILA2,SIG1,SIG2



73 207 FORMAT(5X,6E17.7///)
74 10 CONTINUE
75 STOP
76 END

ISN	SOURCE STATEMENT
1	<pre> SUBROUTINE NNSSE(CO,SPD,TIME,PPC,QOO,APP,AQQ) CO: SHIP'S COURSE(DEG) SPD: SHIPS SPEED(KNOT) PP: LATITUDE OF SHIP QQ; LONGITUDE OF SHIP DT: DOPPLER RECEIVING TIME COUNTED FROM PERIGEE TIME TIME,GMT MINUTES APP: TRUE LATITUDE AQQ: TRUE LONGITUDE </pre>
2	<pre> DOUBLE PRECISION SPD,A,C,DA,DE,DT,E,EE,DDDPP,DDDQQ,DOP,DIST, 1U,V,W,X,Y,XSN,YN,ZS,XN,ZN,ZSN,R,DR,DW,AG,WE,RE,PP,QQ,RO, 2EL,ELEV,CC,RAD,DD,B,APP,AQO,PPQ,QQQ DOUBLE PRECISION DPP,BNG,D1,D2,D3,WW,G,AVEX,AVEY,PX,QY,DDEV,RDIST, 1EDIST,S,C,C,O,QGG,DPG,QGD,DAI,DEG,PPP,QQQ,DOPI,DO 2P,DIST1,4,1ST2,PP,RP DIMENSION A(2,3),PX(30),PY(30) </pre>
3	<pre> E(0T)=C*DT+FE*DSIN(CC*DT)+DE CC=ITAL ANGLE FROM PERIGEE U(0T)=A+C*CC*(E(0T))-EE V(0T)=A*DSIN(CC*EE**2)*DSIN(CC(DT)) C=AT COORDINATE OF SATELLITE W(0T)=W*DBAS(CC*DT) SC(0T)=(Q+DR*DT)-G*WF*DT </pre>
4	<pre> X(0T)=U(0T)*DCOS(W(0T))-V(0T)*DSIN(W(0T)) Y(0T)=U(0T)*DSIN(W(0T))+V(0T)*DCOS(W(0T)) </pre>
5	<pre> </pre>
6	<pre> </pre>
7	<pre> </pre>
8	<pre> </pre>
9	<pre> </pre>
10	<pre> X(0T)=X(0T)*DCOS(W(0T))-Y(0T)*DSIN(W(0T)) Y(0T)=X(0T)*DSIN(W(0T))+Y(0T)*DCOS(W(0T)) </pre>
11	<pre> </pre>
12	<pre> XS(0T)=X(0T)*DCOS(CC(0T))-Y(0T)*F*DSIN(CC(0T)) YS(0T)=X(0T)*F*DSIN(CC(0T))+Y(0T)*F*DCOS(CC(0T)) ZS(0T)=Y(0T)*45.*9.999 </pre>
13	<pre> </pre>
14	<pre> </pre>
15	<pre> RE(CP)=DSQRT(CCOS(CP)**2+0.99999*DSIN(CP)**2)*RO </pre>
16	<pre> XN(CP,E,QQ)=(CC*45.*9.999*DSIN(CP)+H)*DCOS(QQ)*DCOS(CC) </pre>

```

17      YN(PP,QQ)=(RO**2/RE(PP)+H)*DCOS(PP)*DSIN(QQ)
18      ZN(PP)=(RO**2*0.99999/RE(PP)+H)*DSIN(PP)
C      CALCULATION OF RECEIVING POSITION
19      XSN(DT,PP,QQ)=XS(DT)-XN(PP,QQ)
20      YSN(DT,PP,QQ)=YS(DT)-YN(PP,QQ)
21      ZSN(DT,PP)=ZS(DT)-ZN(PP)
22      DIST(DT,PP,QQ)=DSQRT(XSN(DT,PP,QQ)**2+YSN(DT,PP,QQ)**2+ZSN(DT,PP)*
1*2)
23      C      DOPPLER COUNT DISTANCE BETWEEN SAT AND RECEIVER
24      DDQQ(DT,PP,QQ)=(DIST(DT,PP,QQ+1.0D-8)-DIST(DT,PP,QQ))/1.0D-8
DDPP(DT,PP,QQ)=(DIST(DT,PP+1.0D-8,QQ)-DIST(DT,PP,QQ))/1.0D-8
25      RDIST(PP,QQ)=DSQRT(XN(PP,QQ)**2+YN(PP,QQ)**2+ZN(PP)**2)
EDIST(DT,PP,QQ)=(XSN(DT,PP,QQ)*XN(PP,QQ)+YSN(DT,PP,QQ)*ZN(PP,QQ))+Z
26      1SN(DT,PP)*ZN(PP)/(DIST(DT,PP,QQ)*RDIST(PP,QQ))
27      EL(DT,PP,QQ)=DATAN(EDIST(DT,PP,QQ)/DSQRT(1.-EDIST(DT,PP,QQ)**2))
1)
28      RAD(PP)=PP/180.0*3.14159265359D 00
29      DEG(PP)=PD*180.0/3.14159265359D 00
30      DOP(D2,D1,DDT)=32000.0*DDT*60.0+4.0/2.*999987*(D2-D1)*1852.0
31      DIST(DOP,DDT)=(DOP-32000.0*DDT*60.0)*2.99987/4.0/1852.0
32      B=SPD
33      PAI=3.14159265359D 00
34      DE=0.0083
C      DELTA_EK
35      DA=0.0000613
C      DFLTA_AK
36      C=3.396226415
C      MEAN MOTION (DEG/MIN)
37      C      ARGUMENT OF PERGEE

```

```

38      C      DW=0.000022
39      C      R=50.
40      C      ASCENDING NODE (DEG)
41      C      AGO=3.0   GHA ARIES (DEG)
42      C      H=0.024838   GEOID PLUS ANTENNA HEIGHT (NAUTICAL MILE)
43      C      WE=0.25068448D 00   ANGULAR VELOCITY OF REVOLUTION (DEG/MIN)
44      C      RO=3443.934   MAJOR+SEMI DIAMETER ON EQUATOR (NAUTICAL MILE)
45      C      EE=0.004012   ECCENTRICITY
46      C      A=4023.9578   SEMI-MAJOR AXIS (NAUTICAL MILE)
47      C      A=A+DA
48      C      WW=RAD(WW)
49      C      DW=RAD(DW)
50      C      WE=RAD(WE)
51      C      DR=RAD(DR)
52      C      R=RAD(R)
53      C      C=RAD(C)
54      C      DE=RAD(DE)
55      C      IX=200
56      C      IY=0
57      C      AVEX=0.
58      C      AVEY=0.
59      C      DDEV=0.
60      C      CO=RAD(CO)
61      C      L=30
62      DO 1000 K=1,L

```

```

63 DT=TIME+DFLOAT(K)*0.4
64 AGD=AGO+DT*0.25
65 AG=RAD(AGD)
66 C
67 PP=PPO+DCOS(CO)*B/60.0/60.0*DT
68 PP=RAD(PP)
69 QQ=QCO+DSIN(CO)*B/60.0/60.0*DT /DCOS(PP)
70 DNT=0.4
71 DPP=RAD(DCOS(CO)*B/ 60.0/60.0*DDT/DCOS(PP))
72 DQ0=RAD(DSIN(CO)*B/ 60.0/60.0*DDT/DCOS(PP))
73 ELEV= EL(DT,PP,QQ)*180.0/PAI
74 D1=DIST(DT-DDT,PP-DPP,QQ-DQ0)
75 D2=DIST(DT,PP,QQ)
76 D3=DIST(DT+DDT,PP+DPP,QQ+DQ0)
77 DOP1=DOP(D2,D1,DDT)
78 DOP2=DOP(D3,D2,DDT)
79 SN=DOP1*0.000002
80 CALL NORRNS(0.0,SN,IX,IY,RY)
81 DOP1=DOP1+RY
82 SN=DOP2*0.000002
83 CALL NORRNS(0.0,SN,IX,IY,RY)
84 DOP2=DOP2+RY
85 DIST1=DDIST(DOP1,DDT)
86 DIST2=DDIST(DOP2,DDT)
87 C
88 20 CONTINUE
89 G(1,1)=DDDP(DT,PP,QQ)-DDDP(DT-DDT,PP-DPP,QQ-DQ0)
90 G(1,2)=DDDQQ(DT,PP,QQ)-DDDQQ(DT-DDT,PP-DPP,QQ-DQ0)
91 G(2,1)=DDDP(DT+DDT,PP+DPP,QQ+DQ0)-DDDP(DT,PP,QQ)
92 G(2,2)=DDDQQ(DT+DDT,PP+DPP,QQ+DQ0)-DDDQQ(DT,PP,QQ)
93 G(1,3)=DIST1-DIST(DT,PP,QQ)-DIST(DT-DDT,PP-DPP,QQ-DQ0),

```

```

93      C      S(2,3)=DIST2-(DIST(DT+DDT,PF+DPP,QQ+DCQ)-DIST(DT,PP,QQ))
94      CALL GAUFLD(G,2,2,3,1.0D-20,ILL)
95      IF(ILL)3,19,3
96      3      WRITE(8,222)ILL
97      222 FORMAT(1H-,5Y,I,ILL),I10
98      10      CONTINUE
99
100      Q0=Q0+6(2,3)
101      P0=PP+5(1,3)
102      1F((G(1,3)**2+(2,3)**2).LT.1.0D-15) GO TO 30
      50    10 20
103      PE=DFC(P0)
104      QN=DFC(Q0)
105      PC=PP-DCOS(C0)*R/60.0*DT
106      QC=Q0-DSIN(C0)*R/60.0*DT/DCOS(RAD(PP))
107      PX(X)=(PP-PEQ)*60.
108      QY(X)=(QQ-QEQ)*60.
109      AVEX=AVERX+PX(X)
110      AVEY=AVERY+QV(X)
111      1000  CONTINUE
      RL=L
112      AVEX=AVERX/RL
113      AVEY=AVERY/RL
      RL=AL(CPP0)
114      DC=6 M=1,L
115      DDEV=AVEY+(AVERX-PX(M))**2+(AVEY-QV(M))/DCOS(RP))**2
116      6      CNT14UF
117      DDEV=DSCRT(DDEV)/RL
118
119      C      APP=AVEX/60.+P0+DCOS(C0)*a/60.0*TIME
119      A(Q)=AVEY/60.+QV(C0)+DSIN(C0)*R/60.0*TIME/DCOS(RAD(PP))
      C0=DFC(C0)
120      A(Y)=APP
121      TIME=(a-a0)/APP,APP,A3Q
122
123

```

```

124      203 FORMAT( 5X,'TIME',F8.2,4X,'DEVIATION',E15.7,
125          13X,'LONG.',E15.7)
126          RETURN
127          END

128          SUBROUTINE MLOP(GMT,RLTO,RLNO,CO,SPD,CLAN,TLT,TLN,PHAI)
129          DOUBLE PRECISION GMT,RLTO,RLNO,CO,SPD,PAI,F,VPO,DRLT,
130          1DRLN,ALONG1,TLN,BLONG,BBLN,T,TRAD,CAY,CORD,VP,PHAI,CLAN
131          2,RK,ALPHA,A
132          DIMENSION D(3),PHAI(3),DFLN(3),T(3),TRAD(3),VP(3),CLAN(2)
133          DIMENSION RBLN(3),IWE(3),TLT(3),TLN(3),
134          PAI=3.1415926
135          F=10.2*1000.0
136          VPO=300574.0/1.8520
137          CORD=CO*PAI/180.0
138          CALL DRP(RLTO,RLNO,CORD,SPD,GMT,DRLT,DRLN)
139          IXX=150
140          IYY=0
141          DO 1 I=1,3
142          ALONG1=TLN(I)
143          CALL MLONG(ALONG1,DRLN,BLONG,IWE)
144          IWE(I)=IWE
145          1 BBLN(I)=BLONG
146          DO 5 J=1,3
147          IF(IWE(J).LT.0) GO TO 3
148          T(J)=GMT+BBLN(J)/(15.0*PAI/180.0)
149          GO TO 4
150          3 T(J)=GMT-BBLN(J)/(15.0*PAI/180.0)
151          4 CONTINUE
152          TRAD(J)=T(J)*15.0*PAI/180.0
153          CAY=0.00015
154          RK=CAY/30.0
155          RK=RK
156          CALL NORRNS(0.0,RKK,IXX,IYY,ALP)
157          ALPHA=ALP
158

```

```

29      5   VP(J)=VPO*(1.0-CAY*DCOS(TRA(J))+ALPHA)
30      CALL DIST(TLT,TLN,DRLT,DRLN,D)
31      DO 55 J=1,3
32      55   PHAI(J)=F*D(J)/VP(J)
33      CLAN(1)=PHAI(1)-PHAI(2)+900.0
34      CLAN(2)=PHAI(1)-PHAI(3)+900.0
35      RETURN
36      END

C
1      SUBROUTINE MLONG(ALN1,ALN2,BLONG,IWE)
2      EAST LONG +, WEST LONG -
3      DOUBLE PRECISION ALN1,ALN2,ALONG1,ALONG2,PA1,BLONG
4      PA1=3.1415926
5      ALONG1=ALN1*180.0/PA1
6      ALONG2=ALN2*180.0/PA1
7      IF(ALONG1*ALONG2<0.0) 10,20,20
8      BLONG=(ALONG1+ALONG2)/2.0
9      GO TO 30
10     IF(DABS(ALONG1)+DARS(ALONG2)*LT.180.0) GO TO 20
11     BLONG=(180.0-DABS(ALONG1+ALONG2)/2.0)
12     IF(DARS(ALONG1)-DARS(ALONG2)*LT.0.0) GO TO 80
13     BLONG=SIGN(BLONG,ALONG2)
14     GO TO 30
15     BLONG=SIGN(BLONG,ALONG1)
16     CONTINUE
17     40   IWE=-1
18     GO TO 40
19     50   IWE=1
20     GO CONTINUE
21     BLONG=DARS(BLONG)*PA1/180.0
22     RETURN
23     END

```

```

1      SUBROUTINE FIX(I,LL,TIME,RLTT,RLNN,OLAN,SLTT,SLNN,JJ,OMLT,KK,OMLN,
2      1TLT,TLN,PHAIS,PCS)
3      DOUBLE PRECISION TAD,OMOD,WL,RLN,RLT,RLNN,RLTT,TIM,TIME,PC,PCC,
4      1YL,YM,OLAN,DD,TLT,TLN,YL0,YM0,D,YL1,YM1,YL2,YM2,X,Y,OMELT,OMLN,
5      1XX,YY,OMLT,OMLN
6      DOUBLE PRECISION GSLT,GSLN,PHAIS,PPCS,DD,DRLT,DRLN,SLTT,SLNN
7      DIMENSION D(3),OLAN(2),PCC(3),PCC(2),PPCS(3),TLT(3),TLN(3),PHAIS(3),
8      1,PPCS(2)
9      COMMON IPPC(3,25)
10     C   I=1;FIX BY PPC TABLE
11     C   I=2;FIX BY HYBRID SYSTEM
12     C   TAD(M,X)=FLOAT(M)+X/60.0D 00
13     C   OMOD(X,Y)=X-IDINT(X/Y)*Y
14     C   WL=162296.9762/10200.0
15     C   WL IS WAVE LENGTH OF OMEGA RADIO WAVE ON CHART VALUE IN MILES.
16     C   RLN=RLNN
17     C   RLT=RLTT
18     C   TIM=TAD(LL,TIME)+0.5
19     C   ITM=IDINT(TIM+1)
20     C   IF(I.EQ.2) GO TO 2
21     C   IF(I.EQ.3) GO TO 3
22     C   PPC VALUES BY PPC TABLES
23     C   CALL PPCTB(ITM,PC)
24     C   PCC(1)=PC(1)-PC(2)
25     C   PCC(2)=PC(1)-PC(3)
26     C   GO TO 3
27     C   PPC VALUES BY NNSS-OMEGA HYBRID SYSTEM.
28     C   2 PCC(1)=PCS(1)
29     C   PCC(2)=PCS(2)
30     C   3 CONTINUE
31     C   DETERMINE THE OMEGA FIX.
32     C   YL=OLAN(1)-PCC(1)

```

```

22 YM=OLAN(2*X-E_pCC(2))
23 DD=0.0000025
24 CALL DIST(TLT, TLN, RLT, RLN, D)
25 YL0=(D(1)-D(2))/WL+900.
26 YM0=(D(1)-D(3))/WL+900.
27 RLN=RLNN+D
28 RLT=RLTT
29 CALL DIST(TLT, TLN, RLT, RLN, D)
30 YL1=(D(1)-D(2))/WL+900.
31 YM1=(D(1)-D(3))/WL+900.
32 RLT=RLTT+D
33 RLN=RLNN
34 CALL DIST(TLT, TLN, RLT, RLN, D)
35 YL2=(D(1)-D(2))/WL+900.
36 YM2=(D(1)-D(3))/WL+900.
37 X=(YL2-YLC)*(YM-YMO)-(YL-YLO)*(YM2-YM0)
1   -(YL1-YLO)*(YM1-YMO)-(YL1-YLO)*(YM-YMO)
1   -(YL1-YLC)*(YM2-YMO)
38 RLN=RLNN+X
39 RLT=RLTT+Y
40 RLNN=RLN
41 RLT=RLT
42 IF(X>GT,DD) GO TO 4
43 IF(Y>GT,DD) GO TO 4
44 OMELT=PLT
45 OMELN=PLN
46 XX=OMELT*180./3.*14159
47 YY=OMELN*180./3.*14159
48 JJ=IDINT(XX)
49 KK=IDINT(YY)
50 OMLT=OMOD(XX*1.0D 00)*60.*0
51 OMLN=OMOD(YY*1.0D 00)*60.*0
52 RETURN
53
54

```

```

1      SUBROUTINE PPCTB(ITM,PC)
2      DOUBLE PRECISION PC
3      DIMENSION PC(3)
4      COMMON IPPC(3,25)
5      C IS A STATION NUMBER. K=1;STATION A, K=2;STATION C,K=3;STATION D.
6      ITM IS THE NEAREST INTEGER OF OBSERVING TIME IN PLUS ONE.
7      DO 5 K=1,3
8      M=IPPC(K,ITM)
9      PC(K)=FLOAT(M)/100.0
10     RETURN
11     END

```

TOP SECRET
KOREAN MARITIME UNIVERSITY LIBRARY
1945~2000

```

1      SUBROUTINE PPCST(TLT,TLN,GSLT,GSLN,PHAIS,PPC)
2      DOUBLE PRECISION TLT,TLN,GSLT,GSLN,PHAIS,PPC
3      DIMENSION TLT(3),TLN(3),PHAIT(3),PHAIS(3),PPC(3)
4      F=10.*2*1000.0
5      VPO=300574.0/1.85200
6      CALL DIST(TLT,TLN,GSLT,GSLN,D)
7      DO 5 I=1,3
8      PHAIT(I)=F*D(I)/VPO
9      PPC(I)=PHAIT(I)-PHAIS(I)
10     RETURN
11     END

```

```

1      SUBROUTINE DIST(TLT,TLN,RLT,RLN,D)
2      DOUBLE PRECISION TLT,TLN,RLT,RLN,D,DK,THETA,X,S,C
3      DIMENSION TLT(3),TLN(3),THETA(2),D(3)
4      DO 1 I=1,3
5      DK=DSIN(TLT(I))*DSIN(RLT)+DCOS(TLT(I))*DCOS(RLT)*DCOS(TLN(I)-RLN)
6      THETA(1)=DATAN(DSQRT(1.-DK*DK)/DK)
7      X=THETA(1)
8      S=DSIN(TLT(I))*DSIN(RLT)
9      C=DCOS(TLT(I))*DCOS(RLT)
10     THETA(2)=((3.*DSIN(X)-X)*(1.+S+C)*(1.+S-C)/(1.+DCOS(X))-(3.*DSIN

```

```

1 (X)+X)*(1.-S+C)*(1.-S-C)/(1.-DCOS(X)))/(295.*4.)
1 D(I)=(X+THETA(2))*6378.206/1.852
1 RETURN
13 END

```

```

SUBROUTINE DRP(DRLTO,DRLNO,CO,SPD,TIME,DRLT,DRLN)
DOUBLE PRECISION DPLTO,DRLNO,CO,SPD,TIME,DRLT,DRLN,PAI
PAI=3.1415926
DRLT=DRLTO+DCOS(CO)*SPD/60.0/60.0*TIME*PAI/180.0
DRLN=DRLNO+DSIN(CO)*SPD/60.0/60.0*TIME/DCOS(DRLT)*PAI/180.0
RETURN
END

```



1
2
3
4
5
6
7

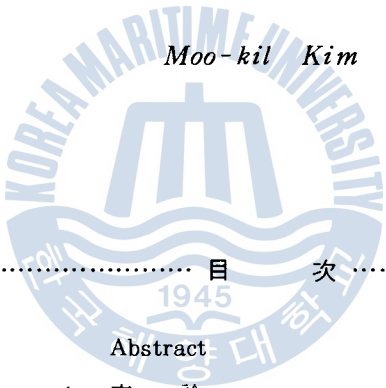
Ca-Si合金을 添加한 Al, Al-Zn 및 Al-Zn-In系 合金의 流電陽極 特性에 관한 研究

金 武 吉

A Study on the Galvanic Anode Characteristics
of Al, Al-Zn and Al-Zn-In Alloys Added
Ca-Si Alloy

Moo-kil Kim

... 目 次 ...

- 
- Abstract
1. 序 論
 2. 試料陽極과 實驗方法
 2. 1 試料 및 試驗片
 2. 2 實驗裝置와 試驗方法
 3. 實驗結果와 考察
 3. 1 10日間의 短期陽極性能
 3. 2 55日間의 長期陽極性能
 3. 結 論
 - 參考文獻